# Скоростная обработка изображения отпечатка пальца

В. Ю. Гудков<sup>1</sup>, М. В. Боков<sup>2</sup>

Россия, 456318 Челябинская область, Миасс, Луначарского, 4

В статье предлагается способ распознавания частных признаков на изображении отпечатка пальца с жесткими ограничениями на время обработки. Частные признаки сохраняются в шаблоне изображения. По шаблонам выполняется идентификация изображений.

### Введение

Исследования в области биометрии начались более 100 лет назад с разработки методов сравнения отпечатков пальцев. С развитием вычислительной техники появилась возможность учета лиц в электронных систе-

мах, обеспечивающих контроль преступности и терроризма. Функционирование электронных систем подобно деятельности эксперта-криминалиста и опирается на модель дактилоскопического изображения (ДИ) в виде частных признаков и отношений между ними [9]. Среди электронных систем наиболее известны системы криминального и гражданского назначения. Если для первых систем основным показателем эффективности работы служит величина ошибки идентификации подозреваемого лица, то для вторых, наравне с величиной ошибки аутентификации пользователя, не менее важна и производительность системы [7]. Это оказывает сильное влияние на выбор методов обработки ДИ, например в системах контроля и управления доступом к объекту.



Рис. 1. Изображение

<sup>&</sup>lt;sup>1</sup> Миасский филиал Челябинского государственного университета, Россия, 454021 Челябинск, ул. Братьев Кашириных, 129 <sup>2</sup> *ЗАО «Сонда Технолоджи»*,

На рис. 1 на узоре левой петли [9] выделены частные признаки в виде окончания и разветвления, распознавание которых простыми методами неэффективно [2]. Поэтому скоростная обработка ДИ реализуется в виде последовательности методов измерения, анализа и синтеза параметров изображения, настройка или обучение которых минимизирует влияние дефектов [2, 8]. Тем не менее, жесткие ограничения по времени сужают класс ДИ, пригодных для обработки, преимущественно до изображений среднего качества и выше.

### 1. Постановка задачи

Обычно для упрощения задачи распознавания частных признаков выполняются этапы предварительной обработки и повышения качества ДИ. Для этого оно представляется в прямоугольной области G мощностью  $|G|=x_0y_0$  в виде

$$F = \{ f(x, y) \in 0..2^b - 1 \mid (x, y) \in X \times Y \},\$$

где b — глубина изображения;  $X = \{0, 1, \dots, x_0 - 1\}$  и  $Y = \{0, 1, \dots, y_0 - 1\}$ .

Обработка изображения структурно представляется в форме пирамиды  $\Re$  взаимосвязанных иерархий [1, 2, 6], для которых сегментация изображения производится для любого слоя произвольной иерархии. Например, l-й слой k-й иерархии  $F_k^{(l)}$  разбивается на  $x_h y_h$  квадратных сегментов  $S_{hk}^{(l)}(x,y)$  с длиной стороны  $2^{h-k}$  и вершинами  $(x,y) \in X_h \times Y_h$ , где k < h и h— номер иерархии;  $X_h = \{0,1,\ldots,x_h-1\}$  и  $Y_h = \{0,1,\ldots,y_h-1\}$ .

Доступ к каждой точке сегмента  $S_{hk}(x,y)$  записывается в координатах  $(u,v)\in \overline{X}_{hk}\times \overline{Y}_{hk}$  :

$$\begin{cases} \overline{X}_{hk} = \{ u + x2^{h-k} \mid x \in X_h \land u \in 0..2^{h-k} - 1 \}, \\ \overline{Y}_{hk} = \{ v + y2^{h-k} \mid y \in Y_h \land v \in 0..2^{h-k} - 1 \}. \end{cases}$$
 (1)

Доступ к центральной точке сегмента  $S_{hk}(x,y)$  записывается в координатах  $(u,v)\in \hat{X}_{hk}\times \hat{Y}_{hk}$  :

$$\begin{cases} \hat{X}_{hk} = \{2^{h-k-1} + x2^{h-k} \mid x \in X_h\}, \\ \hat{Y}_{hk} = \{2^{h-k-1} + y2^{h-k} \mid y \in Y_h\}. \end{cases}$$
 (2)

Размер области определения h -й иерархии:

$$x_h = \left\lceil x_0 / 2^h \right\rceil$$
 и  $y_h = \left\lceil y_0 / 2^h \right\rceil$ ,

где  $\lceil a \rceil$  — наименьшее целое число, превышающее вещественную величину a .

При иерархической сегментации сегменты слоя  $F_k$  отображаются на вершины сегментов слоя  $F_h$  пирамиды  $\Re$ , где k < h. Соответственно вершины сегментов отображаются на сегменты, расположенные ближе к основанию пирамиды [2]. Размер сегмента заметно влияет на время и качество обработки. Далее положим  $S_h(x,y) = S_{h0}(x,y)$  и вершины  $S_h(x,y) \in F_h$ .

Слои пирамиды можно представить множеством действительных чисел, а исходное изображение — множеством неотрицательных действительных чисел [1, 6]. Это снимает необходимость утомительного целочисленного представления сигнала и упрощает выражения, однако дискретизация изображения (слоев пирамиды  $\Re$ ) в пространстве сохраняется.

Для компактной математической формализации методов классификационного анализа (КА) широко применяется аппарат апертур. Ключевую роль при этом играют прямолинейные щелевые  $A_h(x,y,\alpha,w)$  и  $A_h^-(x,y,\alpha,w)$ , круговая  $A_h(x,y,w)$  апертуры, представляемые множеством точек слоя данных h-й иерархии и связанными с ними углами в виде элементов упорядоченных троек  $(u,v,\beta)$ . Эти апертуры определяются по формулам

$$\begin{cases} A_{h}(x, y, \alpha, w) = \{(u, v, \beta) = (x + ] w \cos(\alpha) [, y + ] w \sin(\alpha) [, \beta) | w \in Z_{w} \}, \\ A_{h}^{-}(x, y, \alpha, w) = \{(u, v, \beta) = (x + ] w \cos(\alpha) [, y + ] w \sin(\alpha) [, \beta) | w \in Z_{w}^{-} \}, \end{cases}$$
(3)

$$A_h(x, y, w) = \bigcup_{\alpha \in \mathbb{Z}^*} A_h(x, y, \alpha, w), \qquad (4)$$

где  $(x,y) \in X_h \times Y_h$  — центр апертуры;  $(u,v) \in X_h \times Y_h$  — точка апертуры; w — размер апертуры;  $Z_w = 1...w$ ;  $Z_w^- = -w...-1 \cup 1...w$ ;  $\alpha$  — угол направления апертуры; a [ — ближайшая целая часть вещественного числа a . Угол, определяющий направление из центра апертуры a в точку a в точку a находится в виде

$$\beta = \operatorname{arctg}\left(\frac{v-y}{u-x}\right) + \pi n \text{ при } n \in \{0,1\} .$$

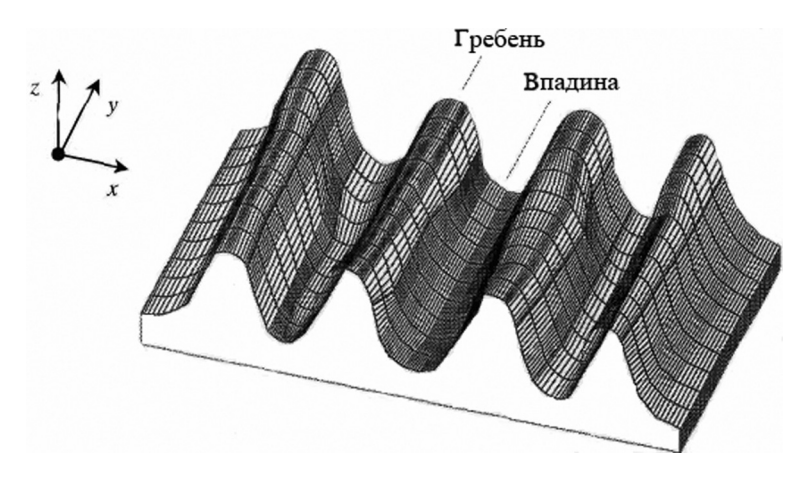


Рис. 2. Объемная поверхность фрагмента кожи пальца

Для задачи распознавания частных признаков этапы предварительной обработки и повышения качества ДИ должны удовлетворять требованию на ограничение по времени. При этом алгоритм должен обеспечивать приемлемое качество распознавания частных признаков, которое проверяется на тестовой базе ДИ. Список частных признаков формируется в виде:

$$L_m = \left\{ M_i = \left\{ x_i, y_i, \alpha_i \right\} | i \in 1..n_1 \right\}, \tag{5}$$

где  $M_i$  — частный признак и мощность  $|L_m| = n_1$ ; i — индекс как номер частного признака;  $x_i, y_i, \alpha_i$  — координаты и направление частного признака как угол. Тогда компромиссным решением противоречия качество — скорость может служить реализация пяти этапов обработки ДИ:

- построение матрицы потоков;
- построение матрицы плотности линий;
- сегментация;
- фильтрация;
- скелетизация и распознавание частных признаков.

## 2. Скоростная обработка

Большинство алгоритмов КА отпечатков пальцев нацелены на распознавание частных признаков [8], которые могут использоваться для вычисления дополнительных параметров ДИ. Предварительная обработка выполняется для исходного изображения  $F_0^{(0)} = \left\{ f_0^{(0)}(x,y) \right\}$  (см. рис. 1). Темные линии, наблюдаемые на изображении, соответствуют гребням на коже пальца, а просветы между линиями — впадинам между гребнями (рис. 2).

#### 2.1. Построение матрицы потоков

Это базовый этап обработки, от которого зависит точность распознавания частных признаков. Он состоит из двух последовательно выполняемых процедур обработки ДИ.

**Измерение матрицы потоков** заключается в разбиении изображения на неперекрывающиеся сегменты по (1) и вычислении для вершины каждого сегмента  $S_h(x,y)$  иерархии h=3 (8×8) угла  $0 \le \delta_h^{(0)}(x,y) < 180$  как элемента матрицы потоков  $\Lambda_h^{(0)}$  по формуле

$$\Lambda_h^{(0)} = \left\{ \delta_h^{(0)}(x, y) \right\} = \left\{ \frac{\pi}{2} + \frac{1}{2} \operatorname{arctg} \left( \frac{2J_{12}(x, y)}{J_{22}(x, y) - J_{11}(x, y)} \right) \right\}, \tag{6}$$

где

$$\begin{split} J_{12}(x,y) &= \sum_{(u,v) \in S_h(x,y)} \nabla_x \nabla_y , \\ J_{11}(x,y) &= \sum_{(u,v) \in S_h(x,y)} \nabla_x \nabla_x , \\ J_{22}(x,y) &= \sum_{(u,v) \in S_h(x,y)} \nabla_y \nabla_y . \end{split}$$

Здесь компоненты градиента в отсчетах  $(u,v) \in \overline{X}_{hk} \times \overline{Y}_{hk}$  по (1) сегмента  $S_h(x,y)$  вычисляются в виде

$$\nabla_{x} = \mathbf{H}_{x} ** f_{0}^{(0)}(u, v) ,$$

$$\nabla_{y} = \mathbf{H}_{y} ** f_{0}^{(0)}(u, v) ,$$

где ядра двумерной свертки как оптимизированные по величине ошибки угла ориентации операторы Собеля [6] находятся в виде

$$\mathbf{H}_{x} = \begin{bmatrix} -3 & 0 & 3 \\ -10 & 0 & 10 \\ -3 & 0 & 3 \end{bmatrix}, \quad \mathbf{H}_{y} = \begin{bmatrix} -3 & -10 & -3 \\ 0 & 0 & 0 \\ 3 & 10 & 3 \end{bmatrix}.$$

Фактически элементы из  $\Lambda_h$  вычисляются сглаживанием в сегментах  $\{S_h(x,y)\}$  компонент поточечного структурного тензорного оператора [6], записываемого в виде

$$J = \begin{bmatrix} J_{11} + J_{22} \\ J_{22} - J_{11} \\ 2J_{12} \end{bmatrix}. \tag{7}$$

**Анализ и коррекция матрицы потоков.** В иерархии h = 3 на основе (7) для  $(x, y) \in X_h \times Y_h$  рассчитывается когерентность потоков по формуле

$$\mathbf{M}_{h}^{(0)} = \left[ \mu_{h}^{(0)}(x, y) \right] = \left[ \frac{\sqrt{\left( J_{22}(x, y) - J_{11}(x, y) \right)^{2} + 4J_{12}^{2}(x, y)}}{J_{11}(x, y) + J_{22}(x, y)} \right]. \tag{8}$$

Когерентность для идеальных линий равна единице, а для изотропной структуры — нулю [6]. С учетом (8) элементы из  $\Lambda_h^{(0)}$  корректируются по формуле:

$$\Lambda_{h}^{(1)} = \left\{ \delta_{h}^{(1)}(x, y) \right\} = \left\{ \frac{1}{2} \operatorname{arctg} \left( \frac{i m_{h}^{(0)}(x, y)}{r e_{h}^{(0)}(x, y)} \right) \right\}, \tag{9}$$

где

$$\begin{split} re_h^{(0)}(x,y) &= \sum_{(u,v) \in A_h(x,y,\mathbf{l})} \mu_h^{(0)}(u,v) \cos(2\delta_h^{(0)}(u,v))\,,\\ im_h^{(0)}(x,y) &= \sum_{(u,v) \in A_h(x,y,\mathbf{l})} \mu_h^{(0)}(u,v) \sin(2\delta_h^{(0)}(u,v)); \end{split}$$

 $\mu_h^{(0)}(u,v)$  и  $\delta_h^{(0)}(u,v)$  — измеренные когерентность и поток по (8) и (6) в отсчете (u,v) апертуры  $A_h(x,y,1)$  по (4). На рис. 3 показан результат коррекции матрицы потоков.

# 2.2. Построение матрицы периодов линий

Это базовый этап обработки, влияющий на точность распознавания частных признаков. Он выполняется на той же иерархии h=3 и состоит из двух последовательно выполняемых процедур обработки ДИ.

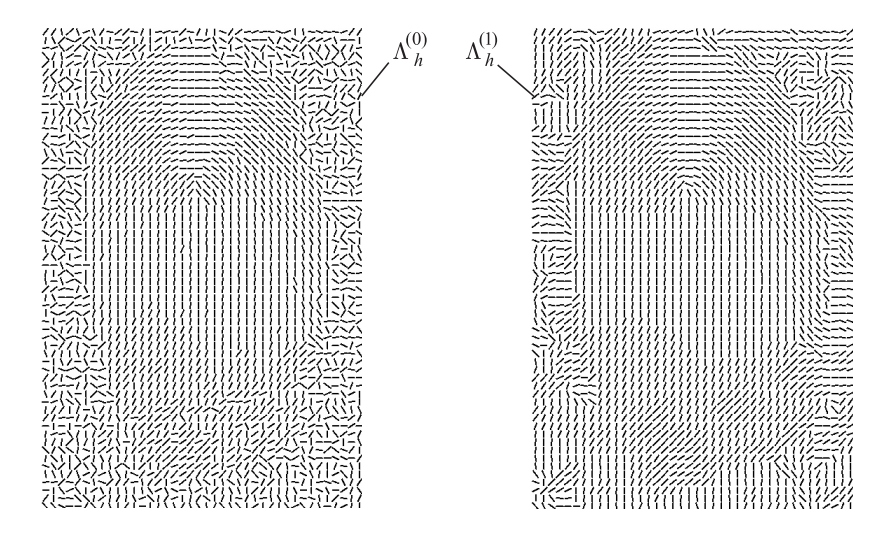


Рис. 3. Матрицы измеренных и скорректированных потоков

**Измерение матрицы локальных периодов линий.** Метод измерения опирается на применение автокорреляционной функции.

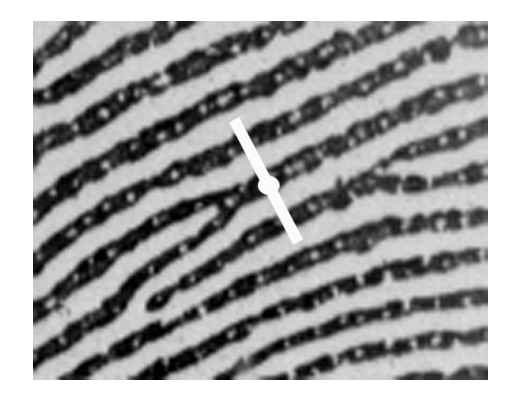
**Определение 1.** Под периодом линий понимается величина t = w/n, обратно пропорциональная среднему количеству n линий, умещающихся в окрестности размером w на прямой, проведенной перпендикулярно линиям [8].

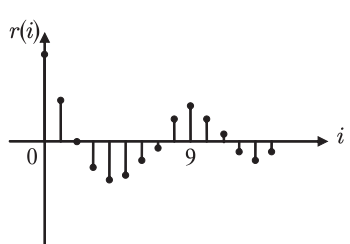
Зададим отрезок  $C(x,y) = A_0^-(x,y,\alpha,w) \cup (x,y)$ , сгенерированный щелевой апертурой по (3), и перенумеруем отсчеты  $(u,v) \in C(x,y)$  в виде  $k \mapsto (u_k,v_k)$ , где  $k \in \{0,1,\dots,N\}$ ; N=2w+1. В отрезке C(x,y) с центром  $k \in \{w\}$  в отсчете  $(x,y) \in X \times Y$  собираются упорядоченные по k величины  $f_0^{(0)}(k)$  яркости изображения. Ориентация щелевой апертуры определяется углом  $\alpha$ , выбираемым перпендикулярно потоку, по формуле

$$\alpha = \frac{\pi}{2} + \delta_h^{(1)}(x, y)$$
 при  $(x, y) \in X_h \times Y_h$ ,

а ее длина определяется окрестностью размером w для отсчета  $(x, y) \in X \times Y$  (w = 19 в реализации).

Для отрезка C(x,y), центрированного в отсчете  $(x,y) \in \hat{X}_{h0} \times \hat{Y}_{h0}$  по (2) на сегменте  $S_h(x,y)$ , введем автокорреляционную функцию в виде





**Рис. 4.** Центрированный отрезок

**Рис. 5.** Автокорреляционная функция

$$r(i) = \frac{1}{w+1} \sum_{k=0}^{w} \left( f_0^{(0)}(k) - \overline{f(0)} \right) \left( f_0^{(0)}(k+i) - \overline{f(i)} \right) \tag{10}$$

и ее разность

$$\Delta r(i) = r(i+1) - r(i) ,$$

где

$$\overline{f(i)} = \frac{1}{w+1} \sum_{k=0}^{w} f(k+i);$$

w+1 — количество отсчетов для расчета автокорреляционной функции, определенной на множестве индексов  $i\in\{0,1,\ldots,w\}$  . Тогда элементы матрицы локального периода линий  $\operatorname{T}_h^{(0)}=\left[t_h^{(0)}(x,y)\right]$  вычисляются по формуле

$$t_h^{(0)}(x,y) = \arg\min_{j} \left\{ \left( \Delta r(0), ..., \Delta r(j) \right) \mid \Delta r(j-1) > 0 \land \Delta r(j) \le 0 \right\}.$$
 (11)

Фактически для каждого сегмента иерархии h=3 выделяется его центр, через который проводится отрезок перпендикулярно потоку. На рис. 4 величины яркости изображения собираются в отсчетах забеленного отрезка. Для них по (11) оценивается локальный период линий на основе автокорреляционной функции по (10), график которой показан на рис. 5. Выбор иерархии h=3 сокращает количество оценок в 64 раза.

Отметим, что формула (11) определяет такой локальный период линий, который соответствует экстремуму отсчетов для положительных величин автокорреляционной функции во второй положительной полуволне.

На рис. 5 период линий рассчитывается равным 9. Выбор экстремума «центрирует» маску фильтра, применяемого для фильтрации ДИ. Однако предположение о том, что оценка периода линий  $t_h^{(0)}(x,y)$  может быть смещена, оставляет пространство для маневрирования параметрами фильтрации. На ровном фоне изображения элементы матрицы  $T_h^{(0)}$  равны нулю.

Анализ и коррекция матрицы периодов линий. Известно, что для ДИ с разрешением 500 dpi  $4 \le t_h^{(0)}(x,y) \le 17$  [8]. Это позволяет удалить ошибки распознавания локального периода линий, задавая  $t_h^{(0)}(x,y) = 0$ .

Суть процедуры сводится к расчету матрицы периодов линий  $T_h^{(1)} = \begin{bmatrix} t_h^{(1)}(x,y) \end{bmatrix}$ , которая в начальной итерации номером j=0 инициализируется:  $T_h^{(1)} = T_h^{(0)}$ . Далее номер j итерации инкрементируется. В первой итерации для  $t_h^{(1)}(x,y) \notin \{0\}$  период линий сглаживается по формуле:

$$t_{h,j}^{(1)}(x,y) = \frac{1}{n} \sum_{R} t_{h,j-1}^{(1)}(u,v) , \qquad (12)$$

где условие суммирования элементов  $R = t_{h,j-1}^{(1)}(u,v) > 0$ ; отсчеты апертуры  $(u,v) \in A_h(x,y,1)$  — по (4);  $n = \sum_R 1$  — количество ненулевых элементов в апертуре. В последующих итерациях для каждого отсчета с кодом пропуска  $t_h^{(1)}(x,y) \in \{0\}$  и для смежных с ним ненулевых элементов количеством n, если n > 3, период линий прогнозируется по (12). Количество

личину n уменьшить, то большая часть элементов из  $T_h^{(1)}$  определится. Таким образом, ошибки измерений предварительно удаляются, периоды линий сглаживаются и в финале прогнозируются. Результат коррекции матрицы локальных периодов линий показан на рис. 6. Нулевые значения

периодов показаны черным цветом, большие светлее.

итераций ограничивают величиной 2-3. Если это ограничение снять, а ве-

### 2.3. Сегментация

Сегментация необходима для отделения информативных областей ДИ от неинформативных. Она выполняется на той же иерархии h=3 и заключается в расчете матрицы меток  $C_h^{(0)} = \left\lceil c_h^{(0)}(x,y) \right\rceil$  по формуле

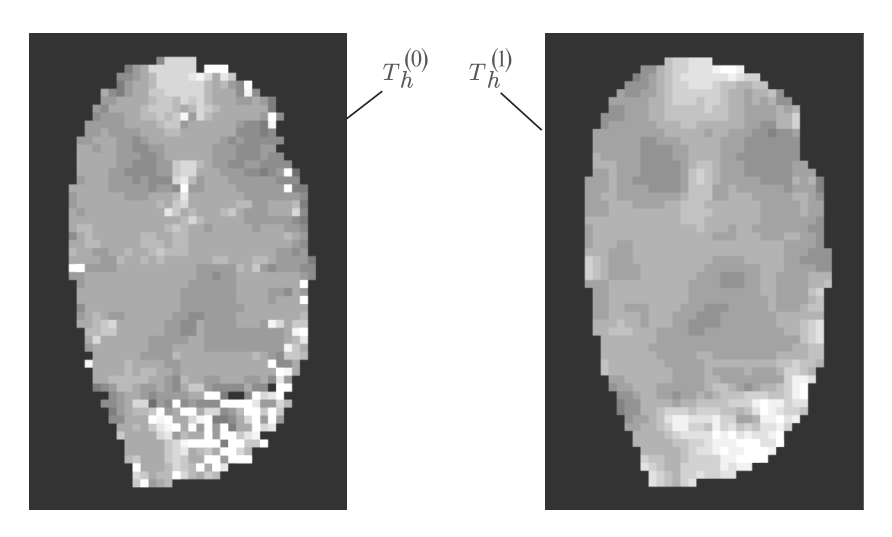


Рис. 6. Измеренные периоды линий (слева) и скорректированные (справа)

$$c_h^{(0)}(x,y) = \begin{cases} 1, & \text{если } r(t_h^{(1)}(x,y)) \cdot \mu_h^{(0)}(x,y) > \kappa_1, \\ 0, & \text{иначе,} \end{cases}$$
 (13)

где  $t_h^{(1)}(x,y)$  — период линий по (12); r(.) — величина автокорреляционной функции по (10);  $\mu_h^{(0)}(x,y)$  — когерентность потоков по (8);  $\kappa_1$  — обучаемый коэффициент.

Фактически при выделении информативных областей опираются на два признака: корреляционную функцию и когерентность потоков. Эти признаки сами по себе комплексные, а их сочетание позволяет повысить точность сегментации. Для ускорения сегментации величины автокорреляционной функции по (10) для каждого сегмента можно сохранить и повторно не вычислять.

При сегментации могут образовываться островки «разнородных» областей. Их можно классифицировать операциями морфологической обработки изображения [1, 6], повышающими точность сегментации. Однако в силу действующего ограничения по времени это нежелательно.

### 2.4. Фильтрация

Фильтрация предназначена для выделения линий в информативной области ДИ. Она обрабатывает слой исходного изображения как матрицу

 $F_0^{(0)} = \left[ f_0^{(0)}(x,y) \right]$ . Величины параметров фильтра считываются из матрицы потоков  $\Delta_h^{(1)}$  по (9) и матрицы периодов линий  $T_h^{(1)}$  по (12) на иерархии h=3. Структура фильтра опирается на фильтр Габора [8]. Для повышения производительности фильтрация расщепляется на два этапа, выполняемых последовательно: сглаживание вдоль линий и дифференцирование.

*Сглаживание изображения.* Сглаживающий фильтр, устраняющий микроразрывы и микрозалипания линий, применяется для каждого сегмента изображения  $S_h(x,y)$  с меткой  $c_h^{(0)}(x,y) \in \{1\}$ . Величины отсчетов по (1) в каждом сегменте  $S_h(x,y)$  сглаживаются по формуле

$$F_0^{(1)} = \left[ f_0^{(1)}(x, y) = \mathbf{H}_1 * \Xi_0^{(\alpha)}(x, y) \right], \tag{14}$$

где  $\mathbf{H}_1$  — ядро одномерной свертки; набор  $\mathcal{Z}_0^{(\alpha)}(x,y) = \left\{ \xi_0^{(\alpha)}(u,v) \right\}$  состоит из элементов, выбираемых из  $F_0^{(0)}$  прямолинейной щелевой апертурой по (3) в виде

$$\left\{ \xi_0^{(\alpha)}(u,v) \right\} = \left\{ f_0^{(0)}(u,v) \,|\, (u,v) \in A_0^-(x,y,\alpha,w) \cup (x,y) \right\};$$

 $\alpha = \delta_h^{(1)}(x,y) \in \Delta_h^{(1)}$  — направление апертуры, одинаковое для всех отсчетов сегмента  $S_h(x,y)$ ;  $w = \kappa_1 t_h^{(1)}(x,y)$  — размер апертуры, определяемый периодом линий и коэффициентом  $\kappa_1$ .

Перенумеруем упорядоченные отсчеты набора  $\Xi_0^{(\alpha)}(x,y) = \left\{ \xi_0^{(\alpha)}(u,v) \right\}$ , сгенерированного щелевой апертурой по (3), в виде  $k \mapsto (u_k,v_k)$ , где  $k \in \{0,1,\ldots,N\}$ ; N=2w+1. Тогда ядро свертки  $\mathbf{H}_1$  рассчитывается в виде:

$$\mathbf{H}_1 = \exp\left(-\frac{\left(w - k\right)^2}{2\sigma^2}\right),\,$$

где  $\sigma$  — параметр как среднеквадратичное отклонение, определяющий крутизну Гауссиана [8] (2–4 в реализации);  $k \in \{w\}$  — отсчет центра окна, здесь равный размеру апертуры w.

Сглаживающий фильтр по сути является выделенным первым сомножителем разделимого фильтра Габора [8] с количеством отсчетов, уменьшенным в  $\pi w/2$  раз.

**Дифференцирование изображения.** Для каждого сегмента изображения  $S_h(x,y)$  с меткой  $c_h^{(0)}(x,y)$   $\in$  {1} применяется дифференциальный фильтр в виде

$$F_0^{(2)} = \left[ f_0^{(2)}(x, y) = \begin{cases} 1, & \text{если } \mathbf{H}_2 * \Xi_0^{(\beta)}(x, y) \ge 0, \\ 0, & \text{иначе,} \end{cases} \right], \tag{15}$$

где  $\mathbf{H}_2$  — ядро одномерной свертки; набор  $\Xi_0^{(\beta)}(x,y) = \left\{ \xi_0^{(\beta)}(u,v) \right\}$  состоит из элементов, выбираемых из  $F_0^{(1)}$  прямолинейной щелевой апертурой по (3) в виде

$$\{\xi_0^{(\beta)}(u,v)\} = \{f_0^{(1)}(u,v) \mid (u,v) \in A_0^-(x,y,\beta,w) \cup (x,y)\} ;$$

 $\beta = \pi/2 + \delta_h^{(1)}(x,y)$  — направление апертуры, одинаковое для всех отсчетов по (1) сегмента  $S_h(x,y)$  и ортогональное потоку;  $w = \kappa_2 \, t_h^{(1)}(x,y)$  — размер апертуры, определяемый периодом линий и коэффициентом  $\kappa_2$ .

Перенумеруем упорядоченные отсчеты набора  $\Xi_0^{(\beta)}(x,y) = \left\{ \xi_0^{(\beta)}(u,v) \right\}$ , сгенерированного щелевой апертурой, в виде  $k \mapsto (u_k,v_k)$ , где  $k \in \{0,1,\ldots,N\}$ ; N=2w+1. Тогда ядро свертки  $\mathbf{H}_2$  рассчитывается в виде

$$\mathbf{H}_2 = \exp\left(-\frac{1}{2}\left(\frac{w-k}{\kappa_2 t_h^{(1)}(x,y)}\right)^2\right) \cdot \cos\left(\frac{2\pi}{t_h^{(1)}(x,y)}(w-k)\right),$$

где  $t_h^{(1)}(x,y)$  — период линий на сегменте  $S_h(x,y)$ ; w — отсчет центра окна, здесь равный размеру апертуры;  $\kappa_2$  — настраиваемый коэффициент, определяющий скорость затухания гармонической составляющей (2—4 в реализации).

По сути дифференциальный фильтр является одномерным аналогом фильтра Габора [8], получаемый сечением, с количеством отсчетов, уменьшенным в  $\pi w/2$  раз.

При скоростной обработке ДИ на сегменте  $S_h(x,y)$  сглаживающий и дифференциальный фильтры применяются один раз последовательно. Дифференциальный фильтр детектирует фазу отклика свертки и определяет линии узора в виде бинарного изображения. Результат фильтрации представлен на рис. 7.

#### 2.5. Скелетизация и распознавание частных признаков

На этом этапе линии бинарного ДИ (см. рис. 7) утончаются до скелета. Введем некоторые определения.

**Определение 2.** Скелетом линии называется простая цепь  $\langle u, v \rangle$  с вершинами u и v в 8-смежности, проходящая вблизи геометрического центра линии, причем для каждой



**Рис. 7.** Бинарное изображение

вершины  $p_1 \in \langle u, v \rangle$  существует ровно две смежные с ней вершины  $p_2$  и  $p_3$ , при этом вершины  $p_2$  и  $p_3$  несмежные.

**Определение 3.** Окончанием называется такая вершина  $p_1$  скелета, что для вершины  $p_1$  существует ровно одна смежная с ней вершина  $p_2$ .

**Определение 4.** Разветвлением называется такая вершина  $p_1$  скелета, что для вершины  $p_1$  существует ровно три смежные с ней вершины  $p_2$ ,  $p_3$  и  $p_4$ , при этом любые две вершины из множества  $\{p_2,p_3,p_4\}$  попарно несмежные.

Скелетизация опирается на раскрашивание точек линий  $f_0^{(2)}(x,y) \in \{0\}$  по правилам  $P(\xi(x,y))$ , определяемым в специальной табличной форме на основе идентификатора окрестности точки в виде

$$\xi(x,y) = \sum_{i \in I} f(i) \cdot 2^i,$$

где f(i) принимает значение 1 для линии и 0 в противном случае;  $i \in I = \{0,1,\ldots,7\}$  — номер сектора апертуры  $3\times3$  по (4). Величина  $\xi(x,y) \in \{0,1,\ldots,255\}$  и определяет ячейку в табличной форме. Согласно [3] итерационное





Рис. 8. Скелет изображения

Рис. 9. Частные признаки

применение правил из  $P(\xi(x,y))$  позволяет вычислить скелет линий, по-казанный на рис. 8. С вершин скелета как графа [4] считываются окончания и разветвления, располагающиеся в информативной области ДИ на расстоянии от границы области не меньшем периода линий, и помещаются в список (5). Структурная постобработка скелета [8] как непроизводительная операция не применяется. Частные признаки с их направлениями показаны на рис. 9, причем окончания закрашены черным цветом, а разветвления — серым.

### Заключение

В работе предложена группа взаимосвязанных методов, обеспечивающая приемлемое качество распознавания частных признаков при жестких ограничениях на время обработки ДИ. К ним относятся: измерение и коррекция матриц потоков, измерение и коррекция матриц периодов линий, сегментация, фильтрация, скелетизация и считывание с вершин скелета частных признаков. Построение матриц потоков основано на тензорном анализе простых окрестностей, а матриц периодов линий — на автокорреляционной функции. Общее время обработки на Intel Pentium D CPU 3,4 ГГц составляет 80 мс. Обработка опирается на операции свертки, что с учетом временных характеристик позволяет перенести ее на целевые платы ТМS или процессоры DSP [5] и использовать встроенные в них операции свертки. Последнее позволяет реализовать простые портативные биометрические системы, работающие в реальном режиме времени.

# Литература

- 1. Гонсалес Р. Цифровая обработка изображений / Р. Гонсалес, Р. Вудс; Пер. с англ.; Под ред. П. А. Чочиа. М.: Техносфера, 2006. 1072 с.
- 2. Гуджов В. Ю. Методы первой обработки дактилоскопических изображений: монография / В. Ю. Гудков. Миасс: Геотур, 2008. 127 с.
- 3. *Гудков В. Ю.* Новая технология формирования скелетов дактилоскопических изображений / В. Ю. Гудков, А. А. Коляда, А. В. Чернявский; Под ред. акад. БАН А. Ф. Чернявского и д. т. н. В. В. Ревинского // Методы, алгоритмы и программное обеспечение гибких информационных технологий для автоматизированных идентификационных систем: сб. науч. ст. Минск: БГУ, 1999. С. 71–82.
- 4. *Новиков Ф. А.* Дискретная математика для программистов: Учебник / Ф. А. Новиков, СПб.: Питер, 2001. 304 с.
- 5. *Сергиенко А. Б.* Цифровая обработка сигналов / А. Б. Сергиенко. СПб.: Питер, 2002. 608 с.
- 6. Яне Б. Цифровая обработка изображений / Б. Яне; Пер. с англ. А. М. Измайловой. М.: Техносфера, 2007. 584 с.
- 7. *Bolle R. M.* Guide to biometrics / R. M. Bolle, J. Y. Connel, S. Pankanti, N. K. Ratha. N. Y.: Springer-Verlag, 2004. 368 p.
- 8. *Maltoni D.* Handbook of fingerprint recognition / D. Maltoni, D. Maio, A. K. Jain. N. Y.: Springer-Verlag, 2003. 348 p.
- 9. The science of fingerprint: classification and uses. Washington: U. S. Government Printing Office, 1984. 211 p.